

SPÉCIFICATION IDCO
POUR LA SOLUTION
LATITUDE INTEGRATION

LATITUDE™ NXT
Systeme de suivi à distance

Outdated version. Do not use.
Version überholt. Nicht verwenden.
Version obsolète. Ne pas utiliser.
Versión obsoleta. No utilizar.
Versione obsoleta. Non utilizzare.
Verouderde versie. Niet gebruiken.
Föråldrad version. Använd ej.
Παλιά έκδοση. Μην χρησιμοποιείτε.
Versão obsoleta. Não utilize.
Forældet version. Må ikke anvendes.
Zastaralá verze. Nepoužívat.
Utdatert versjon. Skal ikke brukes.
Zastaraná verzia. Nepoužívať.
Elavult verzió. Ne használja!
Wersja nieaktualna. Nie używać.

Outdated version. Do not use.
Version überholt. Nicht verwenden.
Version obsolète. Ne pas utiliser.
Versión obsoleta. No utilizar.
Versione obsoleta. Non utilizzare.
Verouderde versie. Niet gebruiken.
Föråldrad version. Använd ej.
Παλιά έκδοση. Μην την χρησιμοποιείτε.
Versão obsoleta. Não utilize.
Forældet version. Må ikke anvendes.
Zastaralá verze. Nepoužívat.
Utdatert versjon. Skal ikke brukes.
Zastaraná verzia. Nepoužívať.
Elavult verzió. Ne használja!
Wersja nieaktualna. Nie używać.

TABLE DES MATIÈRES

Présentation	1
Spécification des messages IDCO pour le système LATITUDE	1
Structure du segment	1
Structure du segment MSH	1
Structure du segment PID	2
Structure du segment PV1	2
Structure du segment PV2	2
Structure du segment OBR	2
Structure du segment OBX	3
Paramètres de sortie	3
Définition des alertes et des avertissements	3
Rapports	3
Termes de base	4
Conversion des données du dispositif implanté en messages IDCO	9
Etat de la batterie	9
SET_BRADY_SENSOR_TYPE	9
Cartographie des épisodes	10
Cartographie des compteurs	11
Cartographie de la configuration de la sonde	12
Limites du système	12
Définition des alertes et des avertissements	13
Rapports	13
Exemple de fichier IDCO	14

Outdated version. Do not use.
Version überholt. Nicht verwenden.
Version obsolète. Ne pas utiliser.
Versión obsoleta. No utilizar.
Versione obsoleta. Non utilizzate.
Verouderde versie. Niet gebruiken.
Föråldrad version. Använd ej.
Παλιά έκδοση. Μην χρησιμοποιείτε.
Versão obsoleta. Não utilize.
Forældet version. Må ikke anvendes.
Zastaralá verze. Nepoužívat.
Utdatert versjon. Skal ikke brukes.
Zastaraná verzia. Nepoužívať.
Elavult verzió. Ne használja!
Wersja nieaktualna. Nie używać.

LATITUDE et RYTHMIQ sont des marques de commerce de Boston Scientific Corporation ou de ses filiales.

Présentation

Le système de surveillance à distance des patients Boston Scientific LATITUDE crée des messages d'Observation de dispositifs cardiaques implantables (Implantable Device - Cardiac - Observation ou IDCO) basés sur les spécifications et les définitions publiées dans ce document. Les messages sont conformes au profil Integrating the Healthcare Enterprise (IHE) Patient Care Device (PCD) Technical Framework IDCO. Ces messages sont utilisés pour transférer les données des patients dans un dossier médical informatisé (DMI) ou dans le système d'information clinique (SIC).

Ce document est destiné aux utilisateurs de l'outil Boston Scientific (BSC) LATITUDE qui (1) intègrent des messages IDCO dans un DMI et (2) utilisent les systèmes DMI ou SIC pour suivre et gérer les données des patients. La première section de ce document (« Spécification des messages IDCO pour le système LATITUDE ») est principalement destinée au personnel technique chargé de l'intégration des messages, tandis que la seconde s'adresse principalement au médecin et fournit des précisions sur la version des données Boston Scientific incluses dans le message.

REMARQUE : les personnes lisant cette section doivent être familiarisées avec la terminologie HL7 et IDCO, la syntaxe de la spécification, les types de données, les structures de messages et la sémantique des messages de type IDCO. Pour plus d'informations, voir :

- www.hl7.org pour les messages HL7
- www.ihe.net pour les messages IDCO
- http://ihe.net/Technical_Framework/index.cfm#pcd pour PCD-09 Technical Framework (se compose des vol. 1, 2 et 3)
- <http://standards.ieee.org/findstds/standard/11073-10103-2012.html> pour la nomenclature IEEE IDCO

Spécification des messages IDCO pour le système LATITUDE

Le message LATITUDE IDCO est un message PCD-09 conforme à la IHE PCD Technical Framework Revision 2.0 du 16 août 2012. Conformément au cadre technique, le message est un message standard HL7 v2.6 de transmission non sollicitée contenant des observations enregistrées par le dispositif implanté et codées avec la nomenclature IEEE 11073-10103 IDC. Cette norme internationale décrit un modèle universel concernant l'interopérabilité des données électroniques médicales.

Dans les tableaux ci-dessous, les valeurs entre guillemets dans les colonnes de valeur correspondent aux valeurs non modifiables qui apparaissent toujours comme indiqué. Les valeurs sans guillemets indiquent soit un exemple soit une description de la valeur.

Structure du segment

Toutes les données sont envoyées sur base de PCD-09. Les informations figurant dans cette section visent à définir la sortie BSC pour les messages IDCO. Elles ne sont pas exhaustives et ne visent pas à compléter la nomenclature IDCO.

Structure du segment MSH

Le segment MSH contient des informations sur l'expéditeur et le destinataire du message, le type de message, la date et l'heure du message, etc. Il constitue le premier segment du message de type IDCO.

NOM DE L'ÉLÉMENT	SÉQ	SOUS SÉQ	VALEUR
Application émettrice	3		« LATITUDE »
Établissement émetteur	4		« BOSTON SCIENTIFIC »
Établissement récepteur	6		Nom du centre LATITUDE
Jeu de caractères	18		« UNICODE UTF-8 »

Structure du segment PID

Le segment PID contient les informations d'identification du patient telles que son nom, ses codes d'identification, son code postal, etc. Ces informations servent à rattacher toutes les données concernant un même patient.

NOM DE L'ÉLÉMENT	SÉQ	SOUS SÉQ	VALEUR
ID de l'espace de nommage	3	4	« BSX »

Structure du segment PV1

Le segment PV1 (Visite du patient) contient les informations concernant le médecin traitant du patient.

NOM DE L'ÉLÉMENT	SÉQ	SOUS SÉQ	VALEUR
Catégorie de patient	2		« R »

Structure du segment PV2

Le segment PV2 (Visite du patient 2) contient les informations concernant le groupe LATITUDE du patient.

NOM DE L'ÉLÉMENT	SÉQ	SOUS SÉQ	VALEUR
Nom d'entreprise (groupe)	23	1	Nom du groupe LATITUDE Exemple : Cardiologie
Numéro ID (groupe de patients primaire ou secondaire)		3	1 Voir la note 1

Notes relatives au segment PV2

1. Cette valeur sera « 1 » si le fichier HL7 est associé au groupe LATITUDE primaire et « 2 » s'il est associé au groupe LATITUDE secondaire.

Structure du segment OBR

Les segments OBR sont les en-têtes de section des segments d'information individuels sur les interrogations OBX. Ils contiennent des données telles que la date et l'heure, l'identifiant du rapport et un identifiant unique généré par le système.

NOM DE L'ÉLÉMENT	SÉQ	SOUS SÉQ	EXEMPLE DE VALEUR
Identifiant universel du service	4		
Identifiant		1	754053
Texte		2	Voir la note 1
Date/heure de l'observation (N°)	7		20060429080005+0000 Voir la note 2
État des résultats	25		« F » Voir la note 3

Notes relatives au segment OBR

1. Le texte de l'identifiant universel du service se présentera sous la forme MDC_IDC_ENUM_SESS_TYPE_{session type}
(ex. MDC_IDC_ENUM_SESS_TYPE_RemoteScheduled).
2. La date/heure de l'observation correspondra à l'horodatage de l'interrogation effectuée par le dispositif implanté. L'horodatage s'inscrira dans le fuseau horaire défini pour le patient.
3. L'état des résultats sera « F » (résultats finaux).

Structure du segment OBX

Les segments OBX contiennent les données rassemblées lors de l'interrogation la plus récente de l'appareil.

NOM DE L'ÉLÉMENT	SÉQ	SOUS SÉQ	EXEMPLE DE VALEUR
État des résultats de l'observation	11		« F » Voir la note 1
Date/heure de l'observation	14		20060317170000+0000 Voir la note 2

Notes relatives au segment OBX

1. L'état des résultats sera « F » (résultats finaux).
2. La date de la mesure sera incluse si celle-ci diffère de la date d'observation dans l'OBR.

Paramètres de sortie

- Les chaînes seront envoyées dans la langue configurée pour le centre dans LATITUDE.
- Les valeurs numériques seront toujours envoyées en utilisant le point « . » comme marque radix (c.-à-d. point décimal).

Définition des alertes et des avertissements

- En cas d'avertissement, un NTE d'avertissement précède un ou plusieurs NTE d'alerte. Un NTE d'avertissement contiendra un ou plusieurs avertissements dans un seul NTE.
- En cas d'alerte, il y aura un NTE pour chaque alerte.

Rapports

EGM en temps réel

S'il est disponible dans la charge reçue du GI, l'EGM en temps réel est joint au message au format PDF et est associé à l'épisode APMRT approprié en utilisant l'ID de groupe (OBX-4) pour l'épisode APMRT.

Rapport de suivi combiné

Un rapport de suivi combiné est joint au message au format PDF dans un OBX séparé.

Termes de base

Le tableau suivant énumère les termes de la nomenclature qui peuvent être inclus dans un message IDCO BSC.

ID DE RÉFÉRENCE PREPEND MDC_IDC_	NOM D’AFFICHAGE
DEV	Dispositif cardiaque implantable
DEV_TYPE	Type de dispositif cardiaque implantable
DEV_MODEL	Modèle de dispositif cardiaque implantable
DEV_SERIAL	Numéro de série du dispositif cardiaque implantable
DEV_MFG	Fabricant du dispositif cardiaque implantable
DEV_IMPLANT_DT	Date d’implantation du dispositif cardiaque implantable
LEAD	Attributs de la sonde implantable
LEAD_MODEL	Modèle de la sonde implantable
LEAD_SERIAL	Numéro de série de la sonde implantable
LEAD_MFG	Fabricant de la sonde implantable
LEAD_IMPLANT_DT	Date d’implantation de la sonde implantable
LEAD_POLARITY_TYPE	Type de polarité de la sonde implantable
LEAD_LOCATION	Emplacement de la sonde implantable
LEAD_LOCATION_DETAIL_1	Emplacement de la sonde implantable, Détail 1
SESS	Session d’interrogation
SESS_DTM	Date et heure de la session d’interrogation
SESS_TYPE	Type de session d’interrogation
SESS_CLINIC_NAME	Nom du centre
MSMT	Mesures
MSMT_BATTERY	Mesures de la batterie
MSMT_BATTERY_DTM	Date et heure des mesures de la batterie
MSMT_BATTERY_STATUS	État de la batterie
MSMT_BATTERY_REMAINING_LONGEVITY	Longévité résiduelle de la batterie
MSMT_BATTERY_REMAINING_PERCENTAGE	Pourcentage résiduel de la batterie
MSMT_CAP	Mesures du condensateur
MSMT_CAP_CHARGE_DTM	Date et heure de la dernière charge du condensateur
MSMT_CAP_CHARGE_TIME	Durée de charge du condensateur
MSMT_CAP_CHARGE_TYPE	Type de charge du condensateur
MSMT_LEADCHNL_[CHAMBER]	Mesures du canal de sonde
MSMT_LEADCHNL_[CHAMBER]_DTM_[STRTEND]	Date et heure des mesures du canal de sonde
MSMT_LEADCHNL_[CHAMBER]_LEAD_CHANNEL_STATUS	État du canal de sonde

ID DE RÉFÉRENCE PREPEND MDC_IDC_	NOM D'AFFICHAGE
MSMT_LEADCHNL_[CHAMBER]_SENSING	Mesures de détection du canal de sonde
MSMT_LEADCHNL_[CHAMBER]_SENSING_ INTR_AMPL_[MMM]	Amplitude intrinsèque de détection du canal de sonde
MSMT_LEADCHNL_[CHAMBER]_SENSING_ POLARITY	Polarité de détection du canal de sonde
MSMT_LEADCHNL_[CHAMBER]_PACING_ THRESHOLD	Mesures du seuil de stimulation du canal de sonde
MSMT_LEADCHNL_[CHAMBER]_PACING_ THRESHOLD_AMPLITUDE	Amplitude du seuil de stimulation du canal de sonde
MSMT_LEADCHNL_[CHAMBER]_PACING_ THRESHOLD_PULSEWIDTH	Durée impulsion du seuil de stimulation du canal de sonde
MSMT_LEADCHNL_[CHAMBER]_PACING_ THRESHOLD_MEASUREMENT_METHOD	Méthode de mesure du seuil de stimulation du canal de sonde
MSMT_LEADCHNL_[CHAMBER]_PACING_ THRESHOLD_POLARITY	Polarité du seuil de stimulation du canal de sonde
MSMT_LEADCHNL_[CHAMBER]_IMPEDANCE	Mesures d'impédance du canal de sonde
MSMT_LEADCHNL_[CHAMBER]_IMPEDANCE_ VALUE	Valeur d'impédance du canal de sonde
MSMT_LEADCHNL_[CHAMBER]_IMPEDANCE_ POLARITY	Polarité d'impédance du canal de sonde
MSMT_LEADHVCHNL	Mesures du canal de sonde haute tension
MSMT_LEADHVCHNL_DTM_[STRTEND]	Date et heure du canal de sonde haute tension
MSMT_LEADHVCHNL_IMPEDANCE	Impédance du canal de sonde haute tension
MSMT_LEADHVCHNL_MEASUREMENT_TYPE	Type de mesure du canal de sonde haute tension
MSMT_LEADHVCHNL_STATUS	État du canal de sonde haute tension
SET	Paramètres
SET_CRT	Paramètres CRT
SET_CRT_LVRV_DELAY	Délai CRT VG-VD
SET_CRT_PACED_CHAMBERS	Chambres ventriculaires stimulées au cours de la stimulation CRT

ID DE RÉFÉRENCE PREPEND MDC_IDC_	NOM D'AFFICHAGE
SET_LEADCHNL_[CHAMBER]	Paramètres du canal de sonde
SET_LEADCHNL_[CHAMBER]_SENSING	Paramètres du canal de sonde, Détection
SET_LEADCHNL_[CHAMBER]_SENSING_ SENSITIVITY	Paramètre du canal de sonde, Sensibilité de détection
SET_LEADCHNL_[CHAMBER]_SENSING_ POLARITY	Paramètre du canal de sonde, Polarité de détection
SET_LEADCHNL_[CHAMBER]_SENSING_ ANODE_LOCATION_[1..3]	Paramètre du canal de sonde, Emplacement de l'anode de détection
SET_LEADCHNL_[CHAMBER]_SENSING_ ANODE_ELECTRODE_[1..3]	Paramètre du canal de sonde, Terminal de l'anode de détection
SET_LEADCHNL_[CHAMBER]_SENSING_ CATHODE_LOCATION_[1..3]	Paramètre du canal de sonde, Emplacement de la cathode de détection
SET_LEADCHNL_[CHAMBER]_SENSING_ CATHODE_ELECTRODE_[1..3]	Paramètre du canal de sonde, Terminal de la cathode de détection
SET_LEADCHNL_[CHAMBER]_SENSING_ ADAPTATION_MODE	Paramètre du canal de sonde, Mode d'adaptation de détection
SET_LEADCHNL_[CHAMBER]_PACING	Paramètres du canal de sonde, Stimulation
SET_LEADCHNL_[CHAMBER]_PACING_ AMPLITUDE	Paramètre du canal de sonde, Amplitude de stimulation
SET_LEADCHNL_[CHAMBER]_PACING_ PULSEWIDTH	Paramètre du canal de sonde, Durée d'impulsion de stimulation
SET_LEADCHNL_[CHAMBER]_PACING_ POLARITY	Paramètre du canal de sonde, Polarité de stimulation
SET_LEADCHNL_[CHAMBER]_PACING_ ANODE_LOCATION_[1..3]	Paramètre du canal de sonde, Emplacement de l'anode de stimulation
SET_LEADCHNL_[CHAMBER]_PACING_ ANODE_ELECTRODE_[1..3]	Paramètre du canal de sonde, Terminal de l'anode de stimulation
SET_LEADCHNL_[CHAMBER]_PACING_ CATHODE_LOCATION_[1..3]	Paramètre du canal de sonde, Emplacement de la cathode de stimulation
SET_LEADCHNL_[CHAMBER]_PACING_ CATHODE_ELECTRODE_[1..3]	Paramètre du canal de sonde, Terminal de la cathode de stimulation
SET_LEADCHNL_[CHAMBER]_PACING_ CAPTURE_MODE	Paramètre du canal de sonde, Mode de capture de stimulation

ID DE RÉFÉRENCE PREPEND MDC_IDC_	NOM D'AFFICHAGE
SET_BRADY	Paramètres Brady
SET_BRADY_MODE	Paramètre Brady, Mode (code NBG)
SET_BRADY_LOWRATE	Paramètre Brady, Fréquence minimum
SET_BRADY_SENSOR_TYPE	Paramètre Brady, Type de capteur
SET_BRADY_MAX_TRACKING_RATE	Paramètre Brady, Fréquence maximum de suivi
SET_BRADY_MAX_SENSOR_RATE	Paramètre Brady, Fréquence maximum du capteur
SET_BRADY_SAV_DELAY_[HIGHLOW]	Paramètre Brady, Délai AV détecté
SET_BRADY_PAV_DELAY_[HIGHLOW]	Paramètre Brady, AV stimulé
SET_BRADY_AT_MODE_SWITCH_MODE	Paramètre Brady, Mode commutation mode TA
SET_BRADY_AT_MODE_SWITCH_RATE	Paramètre Brady, Fréquence de commutation du mode TA
SET_TACHYTHERAPY	Paramètres du traitement Tachy
SET_TACHYTHERAPY_VSTAT	Paramètre du traitement Tachy, État ventriculaire
SET_ZONE	Paramètres de zone
SET_ZONE_TYPE	Paramètre de zone, Catégorie type
SET_ZONE_VENDOR_TYPE	Paramètre de zone, Catégorie type de prestataire
SET_ZONE_STATUS	Paramètre de zone, État
SET_ZONE_DETECTION_INTERVAL	Paramètre de zone, Intervalle de détection
SET_ZONE_TYPE_ATP_[1..10]	Paramètre de zone, Type d'ATP
SET_ZONE_NUM_ATP_SEQS_[1..10]	Paramètre de zone, Nombre de séquences ATP
SET_ZONE_SHOCK_ENERGY_[1..10]	Paramètre de zone, Énergie du choc
SET_ZONE_NUM_SHOCKS_[1..10]	Paramètre de zone, Nombre de chocs
STAT	Statistiques
STAT_DTM_[STRTEND]	Statistique, Date et heure
STAT_BRADY	Statistiques Brady
STAT_BRADY_DTM_[STRTEND]	Statistique Brady, Date et heure
STAT_BRADY_RA_PERCENT_PACED	Statistique Brady, Pourcentage stimulé OD
STAT_BRADY_RV_PERCENT_PACED	Statistique Brady, Pourcentage stimulé VD
STAT_CRT	Statistiques CRT
STAT_CRT_DTM_[STRTEND]	Statistique CRT, Date et heure
STAT_CRT_LV_PERCENT_PACED	Statistique CRT, Pourcentage stimulé VG

ID DE RÉFÉRENCE PREPEND MDC_IDC_	NOM D’AFFICHAGE
STAT_EPISODE	Statistiques de l'épisode
STAT_EPISODE_TYPE	Statistiques de l'épisode, Catégorie type
STAT_EPISODE_TYPE_INDUCED	Statistiques de l'épisode, Type induit
STAT_EPISODE_VENDOR_TYPE	Statistiques de l'épisode, Catégorie type de prestataire
STAT_EPISODE_RECENT_COUNT	Statistiques de l'épisode, Comptage récent
STAT_EPISODE_RECENT_COUNT_DTM_ [STRTEND]	Statistiques de l'épisode, Date et heure
EPISODE	Épisode
EPISODE_ID	Identifiant de l'épisode
EPISODE_DTM	Date et heure de l'épisode
EPISODE_TYPE	Épisode, Catégorie type
EPISODE_TYPE_INDUCED	Épisode, Drapeau type induit
EPISODE_VENDOR_TYPE	Épisode, Catégorie type de prestataire
EPISODE_ATRIAL_INTERVAL_AT_DETECTION	Épisode, Intervalle de détection atriale
EPISODE_VENTRICULAR_INTERVAL_AT_DETECTION	Épisode, Intervalle de détection ventriculaire
EPISODE_DETECTION_THERAPY_DETAILS	Détection de l'épisode et détails sur le traitement
EPISODE_DURATION	Durée de l'épisode

Conversion des données du dispositif implanté en messages IDCO

Etat de la batterie

Les énumérations des paramètres de batterie correspondent à l'état de la batterie BSC de la manière qui suit :

ÉTAT DE LA BATTERIE BSC	ÉTAT DE LA BATTERIE IDCO
BOL	BOS
OY	MOS
ERI	RRT
EOL	EOS

Quand un dispositif implanté entre en mode de télémétrie limitée, l'état de sa batterie peut être ERI ou EOL. Les deux états de la batterie se traduiront par le même message : ENUM_BATTERY_STATUS_RRT (ERI) dans MSMT_BATTERY_STATUS avec l'horodatage ERI dans MSMT_BATTERY_DTM. Cette condition s'applique uniquement à la télémétrie limitée.

SET_BRADY_SENSOR_TYPE

Le type de capteur sera envoyé comme indiqué dans le tableau ci-dessous.

VALEUR ENVOYÉE POUR LA VARIABLE SET_BRADY_SENSOR_TYPE SUR LA BASE DE LA CONFIGURATION DU DISPOSITIF IMPLANTÉ	PARAMÈTRE DU DISPOSITIF IMPLANTÉ
« Accéléromètre »	Accéléromètre uniquement
« Ventilation Minute »	VM uniquement
« Accéléromètre + VM »	Accéléromètre et VM

Les valeurs ci-dessus ne seront pas envoyées si la fréquence peut être contrôlée par le capteur (c.-à-d. pas envoyées si le capteur est dans un état Surveillance seule).

Les valeurs ci-dessus ne seront pas envoyées si la fréquence peut être contrôlée dans le mode brady standard ou en RTA (c.-à-d. la valeur ne reflète pas seulement le mode brady standard).

Veillez noter que « RTA seul » peut apparaître dans les rapports lorsque le mode ATR est un mode adaptable en fréquence et que le mode brady standard n'est pas adaptable en fréquence. Dans ce cas, le texte (par exemple, « Accéléromètre ») sera tout de même envoyé pour le mode RTA. L'utilisateur peut examiner le mode brady et le mode RTA et déterminer que la réponse en fréquence est pour RTA seul.

Cartographie des épisodes

Les épisodes, compteurs, etc. seront envoyés sur la base des informations contenues dans l'interrogation. La même information sera envoyée au départ et lors d'un renvoi ultérieur, même s'il y a des interrogations entre-temps. Veuillez noter que la sortie DMI ne correspondra pas toujours à ce qui est affiché dans le rapport Quick Notes car Quick Notes affiche les épisodes, les alertes et les compteurs depuis la dernière remise à zéro. Les épisodes sont représentés par une combinaison de types normatif et spécifique au prestataire. Certains types d'épisodes de Boston Scientific ne peuvent pas être représentés de manière unique dans la nomenclature IDCO actuelle.

ID DE L'ÉPISODE BSC	TYPE D'ÉPISODE BSC	TYPE D'ÉPISODE NORMATIF IDCO	TYPE D'ÉPISODE IDCO SPÉCIFIQUE AU PRESTATAIRE
V-x	FV	FV	BSX-Zone_VF
V-x	TV	TV	BSX-Epis_VT
V-x	TV (V>A)	TV	BSX-Epis_VT
V-x	Tachy	Pour les appareils SSI, si la sonde est en : <ul style="list-style-type: none"> • V – TV • A – TA/FA • Non spécifié – TV 	Blanc
V-x	Non sout.	Pour les appareils SSI, si la sonde est en : <ul style="list-style-type: none"> • V – TV • A – TA/FA • Non spécifié – TV 	si A, blanc sinon BSX-Epis_NSVT
V-x	TSV (V≤A)	TSV	BSX-Zone_SVT
V-x	TV-1	TV	BSX-Epis_VT-1
CMR-x	CMR	Autre	BSX-Epis_RMS
RYTHMIQ-x	RYTHMIQ	Autre	BSX-Epis_RMS
RTA-x	RTA	TAFA	BSX-Epis_ATR
TRE-x	TRE	Autre	BSX-Epis_PMT
RBS-x	RBS	Autre	Aucun
Dcl Pt-x	Dcl Pt.	Patient activé	BSX-Epis_PTM
V-x	V Cmd	Autre	Aucun
V-x	TVNS	TV	BSX-Epis_NSVT
APMRT-x	APM RT	EGM périodique	BSX-Epis_APMRT
RVAT-x	VD auto	Autre	Aucun
RAAT-x	OD auto	Autre	Aucun
VGAT-x	VG auto	Autre	Aucun
IRM-x	IRM	Autre	Aucun

Cartographie des compteurs

Certains compteurs sont additionnés avant d'envoyer le message. Pour cause, tous les compteurs de Boston Scientific ne peuvent pas actuellement être représentés de manière unique dans la nomenclature IDCO actuelle : les valeurs de compteur envoyées seront celles enregistrées depuis la dernière remise à zéro.

COMPTEUR D'ÉPISODE BSC	STATISTIQUE IDCO, TYPE D'ÉPISODE NORMATIF	STATISTIQUE IDCO, TYPE D'ÉPISODE SPÉCIFIQUE AU PRESTATAIRE
TV (V>A)	TV	BSX-Epis_VT
Tachy	TV	BSX-Epis_VT
Non sout.	TV	BSX-Epis_NSVT
TVNS	TV	BSX-Epis_NSVT
TSV (V≤A)	TSV	BSX-Epis_SVT
RTA	TA/FA	BSX-Epis_ATR
IRM	Autre	Aucun
FV	FV	BSX-Epis_VF
TV	TV	BSX-Epis_VT
TV-1	TV	BSX-Epis_VT-1
Cmd	Autre	Aucun
Aucun traitement programmé	Surveillance	Aucun
Autre non traité	Autre	Aucun
CMR	Autre	BSX-Epis_RMS
RYTHMIQ	Autre	BSX-Epis_RMS
TRE	Autre	BSX-Epis_PMT
RBS	Autre	Aucun
Dcl Pt	Patient activé	BSX-Epis_PTM
APM RT	EGM périodique	BSX-Epis_APMRT
OD auto	Autre	Aucun
VD auto	Autre	Aucun
VG auto	Autre	Aucun

Cartographie de la configuration de la sonde

Le tableau ci-dessous montre comment IDCO et BSC définissent des sondes multi-électrodes. Ce tableau ne se veut pas une liste exhaustive, mais comprend uniquement les énumérations qui pourraient ne pas être évidentes.

Les définitions utilisées par BSC sont conçues pour être conformes avec le Programmeur/Enregistreur/Moniteur (PEM) et le site web de LATITUDE.

NOM DE L'ÉLECTRODE BSC	EMPLACEMENT DE L'ÉLECTRODE IDCO	NOM DE L'ÉLECTRODE IDCO
Boîtier	Autre	Boîtier
VGdist1	VG	Extrémité
VGprox2	VG	Prox1
VGprox3	VG	Prox2
VGprox4	VG	Prox3

Actuellement, MDC_IDC_ENUM_ELECTRODE_LOCATION (emplacement anode/cathode stim./dét.) ne comprend pas une énumération pour la poche (c.-à-d. le boîtier). L'emplacement sera envoyé comme « autre » et l'électrode comme « boîtier ».

Un état « vérifier sonde » indique un problème potentiel de la sonde ; néanmoins, l'absence de l'état « vérifier sonde » n'indique pas une sonde en bon état de fonctionnement. Un état « vérifier sonde » sera envoyé si aucun des indicateurs d'état suivants sont présents :

- Commutation de sécurité de la sonde
- Impédance hors de la plage
- Amplitude hors de la plage
- Impédance de choc faible
- Impédance de choc élevée
- Haute tension pendant la charge

Pour MSMT_LEADCHNL_[CHAMBER] (c.-à-d. les mesures du canal de sonde telles que l'amplitude intrinsèque, l'impédance de sonde, le seuil de stimulation), seule une plage d'horodatage est possible pour toutes les mesures (c.-à-d. pas une plage par mesure) dans la nomenclature IDCO actuelle. Si les heures de mesure sont différentes, une plage d'horodatage (c.-à-d. MIN, MAX) sera envoyée comprenant l'heure de toutes les mesures. En outre, les valeurs qui seront envoyées seront une valeur IDCO MEAN suivant la nomenclature IDCO. Toutefois, les valeurs sont des mesures simples et ne sont pas des valeurs moyennées sur toute la plage d'horodatage.

Limites du système

- Les sorties Spécifique tachy et Spécifique à la chambre sont aussi précises que possible. Toutefois, dans certains cas, l'importance de l'envoi des données et le fait que IDCO ne puisse pas représenter certains paramètres garantissent l'envoi des données de toute façon. Par exemple, les informations de la zone TV sont envoyées comme si les dispositifs Brady avaient une zone TV.
- Pour les appareils qui ne disposent pas du seuil de stimulation automatique (fonction seuil automatique), la dernière mesure de seuil au cabinet sera envoyée.
- Le rapport correct des notifications d'alertes et des données du dispositif implanté par le système LATITUDE NXT dépend de la programmation précise de l'horloge du dispositif implanté au moyen d'un Programmeur/Enregistreur/Moniteur (PEM). Ce rapport peut encore être affecté pendant quelque temps après la programmation correcte de l'horloge du dispositif implanté. Cela dépend de la quantité de données reçues comportant des informations horaires erronées et du décalage horaire lié à l'erreur de l'horloge du dispositif implanté.
- Les chaînes seront envoyées dans la langue configurée pour le centre dans LATITUDE.

Définition des alertes et des avertissements

Les messages d'avertissement et d'alerte sont inclus dans le message sous la forme de notes qui peuvent ou non être affichées dans un DMI. Un avertissement ou une alerte sont inclus dans le message si les données téléchargées à partir du GI ont déclenché l'avertissement ou l'alerte.

Rapports

EGM en temps réel

S'il est disponible dans la charge reçue du GI, l'EGM en temps réel est joint au message au format PDF et est associé à l'épisode APMRT approprié en utilisant l'ID de groupe (OBX-4) pour l'épisode APMRT.

Rapport de suivi combiné

Un rapport de suivi combiné est joint au message au format PDF.

Outdated version. Do not use.
Version überholt. Nicht verwenden.
Version obsolète. Ne pas utiliser.
Versión obsoleta. No utilizar.
Versione obsoleta. Non utilizzate.
Verouderde versie. Niet gebruiken.
Föråldrad version. Använd ej.
Παλιά έκδοση. Μην την χρησιμοποιείτε.
Versão obsoleta. Não utilize.
Forældet version. Må ikke anvendes.
Zastaralá verzia. Nepoužívať.
Utdatert versjon. Skal ikke brukes.
Zastaraná verzia. Nepoužívať.
Elavult verzió. Ne használja!
Wersja nieaktualna. Nie używać.

Exemple de fichier IDCO

L'exemple de fichier IDCO qui suit illustre l'affichage d'un message IDCO avec le système LATITUDE. Il ne s'agit que d'un exemple parmi une multitude de résultats possibles. Les données du message sont indiquées à titre d'hypothèse et ne contiennent pas tous les termes IDCO pour le système LATITUDE.

```
MSH|^~\&|LATITUDE|BOSTON SCIENTIFIC||TestClinic|201305092136+0000||ORU^R01^ORU_R01
|0|P|2.6|||UNICODE UTF-8|fr^French||IHE_PCD_009^IHE_PCD
^1.3.6.1.4.1.19376.1.6.1.9.1^ISO
PID|1||model:N119/serial:900141^^^BSX^U||testLastName^testName^^^^^^I
~testAuxLName^testAuxFName^^^^^^P||19680215|U
PV1|1|R
PV2|||||||||||||||||TestDeviceGroup^^1
OBR|1||1000000916|754054^MDC_IDC_ENUM_SESS_TYPE_RemotePatientInitiated
^MDC||201001151330-0500|||||||||||||F
NTE|1||02 févr. 2012 00:00 - Alerte jaune - Charge d'arythmie atriale d'au moins
3,0 heure(s) au cours d'une période de 24 heures.
NTE|2||02 févr. 2012 00:00 - Alerte jaune - Charge d'arythmie atriale d'au moins
3,0 heure(s) au cours d'une période de 24 heures entre 11 janv. 2010 23:00
et 12 janv. 2010 00:00.
NTE|3||02 févr. 2012 00:00 - Alerte jaune - Stimulation bi-ventriculaire < 1%.
La stimulation était de 2% entre 11 janv. 2010 23:00 et 12 janv. 2010 00:00.
NTE|4||02 févr. 2012 00:00 - Alerte jaune - Stimulation ventriculaire droite de > 1 %.
La stimulation était de 2% entre 11 janv. 2010 23:00 et 12 janv. 2010 00:00.
NTE|5||02 févr. 2012 00:00 - Alerte jaune - Événement mémorisé déclenché par le patient.
Examiner les détails de l'épisode dans le registre des arythmies, onglet Événements.
NTE|6||02 févr. 2012 00:00 - Alerte jaune - Prise de poids d'au moins 2,27 kg en une
semaine ou d'au moins 0,91 kg en moyenne sur une période de deux jours ou plus.
NTE|7||02 févr. 2012 00:00 - Alerte jaune - Perte de poids d'au moins 2,27 kg en une
semaine ou d'au moins 0,91 kg en moyenne sur une période de deux jours ou plus.
NTE|8||02 févr. 2012 00:00 - Alerte jaune - Indicateur d'explantation atteint le
12 janv. 2010 00:00. Prévoir le remplacement du dispositif implanté.
NTE|9||02 févr. 2012 00:00 - Alerte jaune - La tension était trop faible pour l'évaluation
de la capacité restante.
NTE|10||02 févr. 2012 00:00 - Alerte rouge - Contrôle à distance désactivé le
12 janv. 2010 00:00 en raison de la capacité limitée de la batterie (indicateur
d'explantation atteint le 12 févr. 2010 00:00).
NTE|11||02 févr. 2012 00:00 - Alerte jaune - Erreur détectée sur l'historique des
traitements. Les données de l'historique des traitements.
NTE|12||02 févr. 2012 00:00 - Alerte rouge - Dysfonctionnement possible du dispositif
implanté (code d'erreur 1011).
NTE|13||02 févr. 2012 00:00 - Alerte rouge - Dysfonctionnement possible du dispositif
(code d'erreur 1007).
NTE|14||02 févr. 2012 00:00 - Alerte rouge - Dysfonctionnement possible du dispositif
(code d'erreur 1009).
NTE|15||02 févr. 2012 00:00 - Alerte rouge - Le dispositif est en mode Sécurité.
Pour la protection des patients, le dispositif a activé le mode Sécurité.
NTE|16||02 févr. 2012 00:00 - Alerte jaune - Seuil automatique ventriculaire droit
détecté comme > à l'amplitude programmée ou interrompu.
NTE|17||02 févr. 2012 00:00 - Alerte jaune - Seuil automatique atrial détecté comme >
à l'amplitude programmée ou interrompu.
NTE|18||02 févr. 2012 00:00 - Alerte rouge - Impédance de choc hors limites.
NTE|19||02 févr. 2012 00:00 - Alerte rouge - Une faible impédance de l'électrode de choc
a été détectée lors de la tentative d'administration d'un choc
NTE|20||02 févr. 2012 00:00 - Alerte rouge - Impédance élevée de l'électrode choc détectée
lors de la tentative d'administration d'un choc
NTE|21||02 févr. 2012 00:00 - Alerte rouge - Tension élevée détectée au niveau de
l'électrode de choc lors de la charge
NTE|22||02 févr. 2012 00:00 - Alerte rouge - Protection bistouri électrique active.
NTE|23||02 févr. 2012 00:00 - Alerte jaune - Épisode TV survenu (V>A).
NTE|24||02 févr. 2012 00:00 - Alerte jaune - Le Mode Brady de l'appareil est sur Arrêt.
Le traitement Brady ne sera pas délivré.
NTE|25||02 févr. 2012 00:00 - Alerte jaune - Impédance de la sonde de stimulation
ventriculaire gauche hors plage.
```

NTE|26||02 févr. 2012 00:00 - Alerte jaune - Impédance de la sonde de stimulation atriale hors plage.

NTE|27||02 févr. 2012 00:00 - Alerte jaune - Amplitude intrinsèque ventriculaire droite hors plage.

NTE|28||02 févr. 2012 00:00 - Alerte jaune - Amplitude intrinsèque hors plage.

NTE|29||02 févr. 2012 00:00 - Alerte jaune - Amplitude intrinsèque ventriculaire gauche hors plage.

NTE|30||02 févr. 2012 00:00 - Alerte jaune - Amplitude intrinsèque atriale hors plage.

NTE|31||02 févr. 2012 00:00 - Alerte rouge - Impédance de la sonde de stimulation ventriculaire droite hors plage.

NTE|32||02 févr. 2012 00:00 - Alerte rouge - Impédance de la sonde de stimulation hors plage.

NTE|33||02 févr. 2012 00:00 - Alerte jaune - Traitement par choc ventriculaire administré pour convertir une arythmie.

NTE|34||02 févr. 2012 00:00 - Alerte jaune - Épisode d'arythmie ventriculaire accélérée.

NTE|35||02 févr. 2012 00:00 - Alerte rouge - Mode Tachy V réglé sur un mode différent de Surveillance + Traitement

NTE|36||02 févr. 2012 00:00 - Alerte rouge - Notification de vérification de la sonde suite à une variation importante de l'impédance de la sonde de stimulation ventriculaire droite au cours des 7 derniers jours.

NTE|37||02 févr. 2012 00:00 - Alerte rouge - Notification de vérification de la sonde suite à un épisode avec un signal ventriculaire droit potentiellement non physiologique.

NTE|38||02 févr. 2012 00:00 - Alerte jaune - Seuil automatique ventriculaire gauche détecté comme étant > à l'amplitude programmée ou suspendu.

OBX|1|ST|739536^MDC_IDC_EPISODE_ID^MDC|1|IRM-16|||||F

OBX|2|DTM|739552^MDC_IDC_EPISODE_DTM^MDC|1|200101020304|||||F

OBX|3|CWE|739568^MDC_IDC_EPISODE_TYPE^MDC|1|754888
^MDC_IDC_ENUM_EPISODE_TYPE_Epis_Other^MDC|||||F

OBX|4|CWE|739600^MDC_IDC_EPISODE_VENDOR_TYPE^MDC|1|||||F

OBX|5|NM|739712^MDC_IDC_EPISODE_DURATION^MDC|1|100|s|||||F

OBX|6|ST|739680^MDC_IDC_EPISODE_DETECTION_THERAPY_DETAILS
^MDC|1|Mode Protection IRM|||||F

OBX|7|ST|739536^MDC_IDC_EPISODE_ID^MDC|2|VGAT-15|||||F

OBX|8|DTM|739552^MDC_IDC_EPISODE_DTM^MDC|2|200101020304|||||F

OBX|9|CWE|739568^MDC_IDC_EPISODE_TYPE^MDC|2|754888
^MDC_IDC_ENUM_EPISODE_TYPE_Epis_Other^MDC|||||F

OBX|10|CWE|739600^MDC_IDC_EPISODE_VENDOR_TYPE^MDC|2|||||F

OBX|11|NM|739712^MDC_IDC_EPISODE_DURATION^MDC|2|100|s|||||F

OBX|12|ST|739680^MDC_IDC_EPISODE_DETECTION_THERAPY_DETAILS^MDC|2|VG auto|||||F

OBX|13|ST|739536^MDC_IDC_EPISODE_ID^MDC|3|RVAT-14|||||F

OBX|14|DTM|739552^MDC_IDC_EPISODE_DTM^MDC|3|200101020304|||||F

OBX|15|CWE|739568^MDC_IDC_EPISODE_TYPE^MDC|3|754888
^MDC_IDC_ENUM_EPISODE_TYPE_Epis_Other^MDC|||||F

OBX|16|CWE|739600^MDC_IDC_EPISODE_VENDOR_TYPE^MDC|3|||||F

OBX|17|NM|739712^MDC_IDC_EPISODE_DURATION^MDC|3|100|s|||||F

OBX|18|ST|739680^MDC_IDC_EPISODE_DETECTION_THERAPY_DETAILS^MDC|3|VD auto|||||F

OBX|19|ST|739536^MDC_IDC_EPISODE_ID^MDC|4|APM-13|||||F

OBX|20|DTM|739552^MDC_IDC_EPISODE_DTM^MDC|4|200101020304|||||F

OBX|21|CWE|739568^MDC_IDC_EPISODE_TYPE^MDC|4|754886
^MDC_IDC_ENUM_EPISODE_TYPE_Epis_PeriodicEGM^MDC|||||F

OBX|22|CWE|739600^MDC_IDC_EPISODE_VENDOR_TYPE^MDC|4|771085
^MDC_IDC_ENUM_EPISODE_VENDOR_TYPE_BSX-Epis_APMRT^MDC|||||F

OBX|23|ST|739680^MDC_IDC_EPISODE_DETECTION_THERAPY_DETAILS
^MDC|4|EGM en temps réel|||||F

OBX|24|ST|739536^MDC_IDC_EPISODE_ID^MDC|5|Dc1 Pt-12|||||F

OBX|25|DTM|739552^MDC_IDC_EPISODE_DTM^MDC|5|200101020304|||||F

OBX|26|CWE|739568^MDC_IDC_EPISODE_TYPE^MDC|5|754887
^MDC_IDC_ENUM_EPISODE_TYPE_Epis_PatientActivated^MDC|||||F

OBX|27|CWE|739600^MDC_IDC_EPISODE_VENDOR_TYPE^MDC|5|771080
^MDC_IDC_ENUM_EPISODE_VENDOR_TYPE_BSX-Epis_PTM^MDC|||||F

OBX|28|NM|739648^MDC_IDC_EPISODE_VENTRICULAR_INTERVAL_AT_DETECTION
^MDC|5|30000|ms|||||F

OBX|29|NM|739712^MDC_IDC_EPISODE_DURATION^MDC|5|100|s|||||F

OBX|30|ST|739680^MDC_IDC_EPISODE_DETECTION_THERAPY_DETAILS^MDC|5|Dc1 Pt|||||F

OBX|31|ST|739536^MDC_IDC_EPISODE_ID^MDC|6|RAAT-11|||||F
 OBX|32|DTM|739552^MDC_IDC_EPISODE_DTM^MDC|6|200101020304|||||F
 OBX|33|CWE|739568^MDC_IDC_EPISODE_TYPE^MDC|6|754888
 ^MDC_IDC_ENUM_EPISODE_TYPE_Epis_Other^MDC|||||F
 OBX|34|CWE|739600^MDC_IDC_EPISODE_VENDOR_TYPE^MDC|6|||||F
 OBX|35|NM|739712^MDC_IDC_EPISODE_DURATION^MDC|6|100|s|||||F
 OBX|36|ST|739680^MDC_IDC_EPISODE_DETECTION_THERAPY_DETAILS^MDC|6|OD auto|||||F
 OBX|37|ST|739536^MDC_IDC_EPISODE_ID^MDC|7|RYTHMIQ-10|||||F
 OBX|38|DTM|739552^MDC_IDC_EPISODE_DTM^MDC|7|200101020304|||||F
 OBX|39|CWE|739568^MDC_IDC_EPISODE_TYPE^MDC|7|754888
 ^MDC_IDC_ENUM_EPISODE_TYPE_Epis_Other^MDC|||||F
 OBX|40|CWE|739600^MDC_IDC_EPISODE_VENDOR_TYPE^MDC|7|771084
 ^MDC_IDC_ENUM_EPISODE_VENDOR_TYPE_BSX-Epis_RMS^MDC|||||F
 OBX|41|NM|739648
 ^MDC_IDC_EPISODE_VENTRICULAR_INTERVAL_AT_DETECTION^MDC|7|30000|ms|||||F
 OBX|42|NM|739712^MDC_IDC_EPISODE_DURATION^MDC|7|100|s|||||F
 OBX|43|ST|739680^MDC_IDC_EPISODE_DETECTION_THERAPY_DETAILS^MDC|7|RYTHMIQ|||||F
 OBX|44|ST|739536^MDC_IDC_EPISODE_ID^MDC|8|CMR-9|||||F
 OBX|45|DTM|739552^MDC_IDC_EPISODE_DTM^MDC|8|200101020304|||||F
 OBX|46|CWE|739568^MDC_IDC_EPISODE_TYPE^MDC|8|754888
 ^MDC_IDC_ENUM_EPISODE_TYPE_Epis_Other^MDC|||||F
 OBX|47|CWE|739600^MDC_IDC_EPISODE_VENDOR_TYPE^MDC|8|771084
 ^MDC_IDC_ENUM_EPISODE_VENDOR_TYPE_BSX-Epis_RMS^MDC|||||F
 OBX|48|NM|739648
 ^MDC_IDC_EPISODE_VENTRICULAR_INTERVAL_AT_DETECTION^MDC|8|30000|ms|||||F
 OBX|49|NM|739712^MDC_IDC_EPISODE_DURATION^MDC|8|100|s|||||F
 OBX|50|ST|739680^MDC_IDC_EPISODE_DETECTION_THERAPY_DETAILS^MDC|8|CMR|||||F
 OBX|51|ST|739536^MDC_IDC_EPISODE_ID^MDC|9|V-8|||||F
 OBX|52|DTM|739552^MDC_IDC_EPISODE_DTM^MDC|9|200101020304|||||F
 OBX|53|CWE|739568^MDC_IDC_EPISODE_TYPE^MDC|9|754881
 ^MDC_IDC_ENUM_EPISODE_TYPE_Epis_VF^MDC|||||F
 OBX|54|CWE|739600^MDC_IDC_EPISODE_VENDOR_TYPE
 ^MDC|9|771073^MDC_IDC_ENUM_EPISODE_VENDOR_TYPE_BSX-Epis_VF^MDC|||||F
 OBX|55|CWE|739584^MDC_IDC_EPISODE_TYPE_INDUCED^MDC|9|755329
 ^MDC_IDC_ENUM_EPISODE_TYPE_INDUCED_YES^MDC|||||F
 OBX|56|NM|739648
 ^MDC_IDC_EPISODE_VENTRICULAR_INTERVAL_AT_DETECTION^MDC|9|30000|ms|||||F
 OBX|57|NM|739712^MDC_IDC_EPISODE_DURATION^MDC|9|100|s|||||F
 OBX|58|ST|739680
 ^MDC_IDC_EPISODE_DETECTION_THERAPY_DETAILS^MDC|9|FV ATPx1, 0,1J, 0,2J, 31Jx2|||||F
 OBX|59|ST|739536^MDC_IDC_EPISODE_ID^MDC|10|TRE-7|||||F
 OBX|60|DTM|739552^MDC_IDC_EPISODE_DTM^MDC|10|200101020304|||||F
 OBX|61|CWE|739568^MDC_IDC_EPISODE_TYPE^MDC|10|754888
 ^MDC_IDC_ENUM_EPISODE_TYPE_Epis_Other^MDC|||||F
 OBX|62|CWE|739600^MDC_IDC_EPISODE_VENDOR_TYPE^MDC|10|771079
 ^MDC_IDC_ENUM_EPISODE_VENDOR_TYPE_BSX-Epis_PMT^MDC|||||F
 OBX|63|NM|739648^MDC_IDC_EPISODE_VENTRICULAR_INTERVAL_AT_DETECTION
 ^MDC|10|30000|ms|||||F
 OBX|64|NM|739712^MDC_IDC_EPISODE_DURATION^MDC|10|100|s|||||F
 OBX|65|ST|739680^MDC_IDC_EPISODE_DETECTION_THERAPY_DETAILS^MDC|10|TRE|||||F
 OBX|66|ST|739536^MDC_IDC_EPISODE_ID^MDC|11|V-6|||||F
 OBX|67|DTM|739552^MDC_IDC_EPISODE_DTM^MDC|11|200101020304|||||F
 OBX|68|CWE|739568^MDC_IDC_EPISODE_TYPE^MDC|11|754882
 ^MDC_IDC_ENUM_EPISODE_TYPE_Epis_VT^MDC|||||F
 OBX|69|CWE|739600^MDC_IDC_EPISODE_VENDOR_TYPE^MDC|11|771075
 ^MDC_IDC_ENUM_EPISODE_VENDOR_TYPE_BSX-Epis_VT-1^MDC|||||F
 OBX|70|CWE|739584^MDC_IDC_EPISODE_TYPE_INDUCED^MDC|11|755329
 ^MDC_IDC_ENUM_EPISODE_TYPE_INDUCED_YES^MDC|||||F
 OBX|71|NM|739648^MDC_IDC_EPISODE_VENTRICULAR_INTERVAL_AT_DETECTION
 ^MDC|11|30000|ms|||||F
 OBX|72|NM|739712^MDC_IDC_EPISODE_DURATION^MDC|11|100|s|||||F
 OBX|73|ST|739680^MDC_IDC_EPISODE_DETECTION_THERAPY_DETAILS
 ^MDC|11|TV-1 ATPx1, 0,1J, 0,2J, 31Jx2|||||F
 OBX|74|ST|739536^MDC_IDC_EPISODE_ID^MDC|12|RTA-5|||||F
 OBX|75|DTM|739552^MDC_IDC_EPISODE_DTM^MDC|12|200101020304|||||F

OBX|76|CWE|739568^MDC_IDC_EPISODE_TYPE^MDC|12|754883
 ^MDC_IDC_ENUM_EPISODE_TYPE_Epis_ATAF^MDC||||F
 OBX|77|CWE|739600^MDC_IDC_EPISODE_VENDOR_TYPE^MDC|12|771078
 ^MDC_IDC_ENUM_EPISODE_VENDOR_TYPE_BSX-Epis_ATR^MDC||||F
 OBX|78|NM|739616^MDC_IDC_EPISODE_ATRIAL_INTERVAL_AT_DETECTION^MDC|12|20000|ms||||F
 OBX|79|NM|739712^MDC_IDC_EPISODE_DURATION^MDC|12|100|s||||F
 OBX|80|ST|739680^MDC_IDC_EPISODE_DETECTION_THERAPY_DETAILS^MDC|12|RTA||||F
 OBX|81|ST|739536^MDC_IDC_EPISODE_ID^MDC|13|V-4||||F
 OBX|82|DTM|739552^MDC_IDC_EPISODE_DTM^MDC|13|200101020304||||F
 OBX|83|CWE|739568^MDC_IDC_EPISODE_TYPE^MDC|13|754882
 ^MDC_IDC_ENUM_EPISODE_TYPE_Epis_VT^MDC||||F
 OBX|84|CWE|739600^MDC_IDC_EPISODE_VENDOR_TYPE^MDC|13|771077
 ^MDC_IDC_ENUM_EPISODE_VENDOR_TYPE_BSX-Epis_NSVT^MDC||||F
 OBX|85|CWE|739584^MDC_IDC_EPISODE_TYPE_INDUCED^MDC|13|755329
 ^MDC_IDC_ENUM_EPISODE_TYPE_INDUCED_YES^MDC||||F
 OBX|86|NM|739648^MDC_IDC_EPISODE_VENTRICULAR_INTERVAL_AT_DETECTION
 ^MDC|13|30000|ms||||F
 OBX|87|NM|739712^MDC_IDC_EPISODE_DURATION^MDC|13|100|s||||F
 OBX|88|ST|739680^MDC_IDC_EPISODE_DETECTION_THERAPY_DETAILS^MDC|13|TVNS||||F
 OBX|89|ST|739536^MDC_IDC_EPISODE_ID^MDC|14|V-3||||F
 OBX|90|DTM|739552^MDC_IDC_EPISODE_DTM^MDC|14|200101020304||||F
 OBX|91|CWE|739568^MDC_IDC_EPISODE_TYPE^MDC|14|754882
 ^MDC_IDC_ENUM_EPISODE_TYPE_Epis_VT^MDC||||F
 OBX|92|CWE|739600^MDC_IDC_EPISODE_VENDOR_TYPE^MDC|14|771074
 ^MDC_IDC_ENUM_EPISODE_VENDOR_TYPE_BSX-Epis_VT^MDC||||F
 OBX|93|CWE|739584^MDC_IDC_EPISODE_TYPE_INDUCED^MDC|14|755329
 ^MDC_IDC_ENUM_EPISODE_TYPE_INDUCED_YES^MDC||||F
 OBX|94|NM|739648^MDC_IDC_EPISODE_VENTRICULAR_INTERVAL_AT_DETECTION
 ^MDC|14|30000|ms||||F
 OBX|95|NM|739712^MDC_IDC_EPISODE_DURATION^MDC|14|100|s||||F
 OBX|96|ST|739680^MDC_IDC_EPISODE_DETECTION_THERAPY_DETAILS
 ^MDC|14|TV ATPx1, 0, 1J, 0, 2J, 31Jx2||||F
 OBX|97|ST|739536^MDC_IDC_EPISODE_ID^MDC|15|RBS-2||||F
 OBX|98|DTM|739552^MDC_IDC_EPISODE_DTM^MDC|15|200101020304||||F
 OBX|99|CWE|739568^MDC_IDC_EPISODE_TYPE^MDC|15|754888
 ^MDC_IDC_ENUM_EPISODE_TYPE_Epis_Other^MDC||||F
 OBX|100|CWE|739600^MDC_IDC_EPISODE_VENDOR_TYPE^MDC|15||||F
 OBX|101|NM|739616^MDC_IDC_EPISODE_ATRIAL_INTERVAL_AT_DETECTION^MDC|15|20000|ms||||F
 OBX|102|NM|739712^MDC_IDC_EPISODE_DURATION^MDC|15|100|s||||F
 OBX|103|ST|739680^MDC_IDC_EPISODE_DETECTION_THERAPY_DETAILS^MDC|15|RBS||||F
 OBX|104|ST|739536^MDC_IDC_EPISODE_ID^MDC|16|V-1||||F
 OBX|105|DTM|739552^MDC_IDC_EPISODE_DTM^MDC|16|200101020304||||F
 OBX|106|CWE|739568^MDC_IDC_EPISODE_TYPE^MDC|16|754888
 ^MDC_IDC_ENUM_EPISODE_TYPE_Epis_Other^MDC||||F
 OBX|107|CWE|739600^MDC_IDC_EPISODE_VENDOR_TYPE^MDC|16||||F
 OBX|108|CWE|739584^MDC_IDC_EPISODE_TYPE_INDUCED^MDC|16|755329
 ^MDC_IDC_ENUM_EPISODE_TYPE_INDUCED_YES^MDC||||F
 OBX|109|NM|739648^MDC_IDC_EPISODE_VENTRICULAR_INTERVAL_AT_DETECTION
 ^MDC|16|30000|ms||||F
 OBX|110|NM|739712^MDC_IDC_EPISODE_DURATION^MDC|16|100|s||||F
 OBX|111|ST|739680^MDC_IDC_EPISODE_DETECTION_THERAPY_DETAILS
 ^MDC|16|V Cmd Traitement délivré||||F
 OBX|112|ED|18750-0^Cardiac Electrophysiology Report^LN||Application^PDF^
 ^Base64^{encoded PDF included here}||||F||201001151330-0500
 OBX|113|ED|18750-0^Cardiac Electrophysiology Report^LN|4|Application^PDF^
 ^Base64^{encoded PDF included here}||||F||201001151330-0500
 OBX|114|CWE|720897^MDC_IDC_DEV_TYPE^MDC||753665^MDC_IDC_ENUM_DEV_TYPE_IPG^MDC||||F
 OBX|115|ST|720898^MDC_IDC_DEV_MODEL^MDC||N119||||F
 OBX|116|ST|720899^MDC_IDC_DEV_SERIAL^MDC||900141||||F
 OBX|117|CWE|720900^MDC_IDC_DEV_MFG^MDC||753732^MDC_IDC_ENUM_MFG_BSX^MDC||||F
 OBX|118|DTM|720901^MDC_IDC_DEV_IMPLANT_DT^MDC||20120513||||F
 OBX|119|ST|720961^MDC_IDC_LEAD_MODEL^MDC|1|12345||||F
 OBX|120|ST|720962^MDC_IDC_LEAD_SERIAL^MDC|1|6789||||F
 OBX|121|CWE|720963^MDC_IDC_LEAD_MFG^MDC|1|753731^MDC_IDC_ENUM_MFG_BIO^MDC||||F

OBX|122|CWE|720965^MDC_IDC_LEAD_POLARITY_TYPE^MDC|1|753793
 ^MDC_IDC_ENUM_LEAD_POLARITY_TYPE_UNI^MDC|||||F
 OBX|123|DTM|720964^MDC_IDC_LEAD_IMPLANT_DT^MDC|1|201205|||||F
 OBX|124|CWE|720966^MDC_IDC_LEAD_LOCATION^MDC|1|753858
 ^MDC_IDC_ENUM_LEAD_LOCATION_CHAMBER_LV^MDC|||||F
 OBX|125|CWE|720967^MDC_IDC_LEAD_LOCATION_DETAIL_1^MDC|1|753922
 ^MDC_IDC_ENUM_LEAD_LOCATION_DETAIL_Apex^MDC|||||F
 OBX|126|CWE|720968^MDC_IDC_LEAD_LOCATION_DETAIL_2^MDC|1|753925
 ^MDC_IDC_ENUM_LEAD_LOCATION_DETAIL_VenaCava^MDC|||||F
 OBX|127|ST|720961^MDC_IDC_LEAD_MODEL^MDC|2|12345|||||F
 OBX|128|ST|720962^MDC_IDC_LEAD_SERIAL^MDC|2|6789|||||F
 OBX|129|CWE|720963^MDC_IDC_LEAD_MFG^MDC|2|753731^MDC_IDC_ENUM_MFG_BIO^MDC|||||F
 OBX|130|CWE|720965^MDC_IDC_LEAD_POLARITY_TYPE^MDC|2|753793
 ^MDC_IDC_ENUM_LEAD_POLARITY_TYPE_UNI^MDC|||||F
 OBX|131|DTM|720964^MDC_IDC_LEAD_IMPLANT_DT^MDC|2|201205|||||F
 OBX|132|CWE|720966^MDC_IDC_LEAD_LOCATION^MDC|2|753858
 ^MDC_IDC_ENUM_LEAD_LOCATION_CHAMBER_LV^MDC|||||F
 OBX|133|CWE|720967^MDC_IDC_LEAD_LOCATION_DETAIL_1^MDC|2|753922
 ^MDC_IDC_ENUM_LEAD_LOCATION_DETAIL_Apex^MDC|||||F
 OBX|134|CWE|720968^MDC_IDC_LEAD_LOCATION_DETAIL_2^MDC|2|753925
 ^MDC_IDC_ENUM_LEAD_LOCATION_DETAIL_VenaCava^MDC|||||F
 OBX|135|ST|720961^MDC_IDC_LEAD_MODEL^MDC|3|12345|||||F
 OBX|136|ST|720962^MDC_IDC_LEAD_SERIAL^MDC|3|6789|||||F
 OBX|137|CWE|720963^MDC_IDC_LEAD_MFG^MDC|3|753731^MDC_IDC_ENUM_MFG_BIO^MDC|||||F
 OBX|138|CWE|720965^MDC_IDC_LEAD_POLARITY_TYPE^MDC|3|753793
 ^MDC_IDC_ENUM_LEAD_POLARITY_TYPE_UNI^MDC|||||F
 OBX|139|DTM|720964^MDC_IDC_LEAD_IMPLANT_DT^MDC|3|201205|||||F
 OBX|140|CWE|720966^MDC_IDC_LEAD_LOCATION^MDC|3|753858
 ^MDC_IDC_ENUM_LEAD_LOCATION_CHAMBER_LV^MDC|||||F
 OBX|141|CWE|720967^MDC_IDC_LEAD_LOCATION_DETAIL_1^MDC|3|753922
 ^MDC_IDC_ENUM_LEAD_LOCATION_DETAIL_Apex^MDC|||||F
 OBX|142|CWE|720968^MDC_IDC_LEAD_LOCATION_DETAIL_2^MDC|3|753925
 ^MDC_IDC_ENUM_LEAD_LOCATION_DETAIL_VenaCava^MDC|||||F
 OBX|143|ST|720961^MDC_IDC_LEAD_MODEL^MDC|4|12345|||||F
 OBX|144|ST|720962^MDC_IDC_LEAD_SERIAL^MDC|4|6789|||||F
 OBX|145|CWE|720963^MDC_IDC_LEAD_MFG^MDC|4|753731^MDC_IDC_ENUM_MFG_BIO^MDC|||||F
 OBX|146|CWE|720965^MDC_IDC_LEAD_POLARITY_TYPE^MDC|4|753793
 ^MDC_IDC_ENUM_LEAD_POLARITY_TYPE_UNI^MDC|||||F
 OBX|147|DTM|720964^MDC_IDC_LEAD_IMPLANT_DT^MDC|4|201205|||||F
 OBX|148|CWE|720966^MDC_IDC_LEAD_LOCATION^MDC|4|753858
 ^MDC_IDC_ENUM_LEAD_LOCATION_CHAMBER_LV^MDC|||||F
 OBX|149|CWE|720967^MDC_IDC_LEAD_LOCATION_DETAIL_1^MDC|4|753922
 ^MDC_IDC_ENUM_LEAD_LOCATION_DETAIL_Apex^MDC|||||F
 OBX|150|CWE|720968^MDC_IDC_LEAD_LOCATION_DETAIL_2^MDC|4|753925
 ^MDC_IDC_ENUM_LEAD_LOCATION_DETAIL_VenaCava^MDC|||||F
 OBX|151|ST|720961^MDC_IDC_LEAD_MODEL^MDC|5|12345|||||F
 OBX|152|ST|720962^MDC_IDC_LEAD_SERIAL^MDC|5|6789|||||F
 OBX|153|CWE|720963^MDC_IDC_LEAD_MFG^MDC|5|753731^MDC_IDC_ENUM_MFG_BIO^MDC|||||F
 OBX|154|CWE|720965^MDC_IDC_LEAD_POLARITY_TYPE^MDC|5|753793
 ^MDC_IDC_ENUM_LEAD_POLARITY_TYPE_UNI^MDC|||||F
 OBX|155|DTM|720964^MDC_IDC_LEAD_IMPLANT_DT^MDC|5|201205|||||F
 OBX|156|CWE|720966^MDC_IDC_LEAD_LOCATION^MDC|5|753858
 ^MDC_IDC_ENUM_LEAD_LOCATION_CHAMBER_LV^MDC|||||F
 OBX|157|CWE|720967^MDC_IDC_LEAD_LOCATION_DETAIL_1^MDC|5|753922
 ^MDC_IDC_ENUM_LEAD_LOCATION_DETAIL_Apex^MDC|||||F
 OBX|158|CWE|720968^MDC_IDC_LEAD_LOCATION_DETAIL_2^MDC|5|753925
 ^MDC_IDC_ENUM_LEAD_LOCATION_DETAIL_VenaCava^MDC|||||F
 OBX|159|ST|720961^MDC_IDC_LEAD_MODEL^MDC|6|12345|||||F
 OBX|160|ST|720962^MDC_IDC_LEAD_SERIAL^MDC|6|6789|||||F
 OBX|161|CWE|720963^MDC_IDC_LEAD_MFG^MDC|6|753731^MDC_IDC_ENUM_MFG_BIO^MDC|||||F
 OBX|162|CWE|720965^MDC_IDC_LEAD_POLARITY_TYPE^MDC|6|753793
 ^MDC_IDC_ENUM_LEAD_POLARITY_TYPE_UNI^MDC|||||F
 OBX|163|DTM|720964^MDC_IDC_LEAD_IMPLANT_DT^MDC|6|201205|||||F
 OBX|164|CWE|720966^MDC_IDC_LEAD_LOCATION^MDC|6|753858
 ^MDC_IDC_ENUM_LEAD_LOCATION_CHAMBER_LV^MDC|||||F

OBX|165|CWE|720967^MDC_IDC_LEAD_LOCATION_DETAIL_1^MDC|6|753922
 ^MDC_IDC_ENUM_LEAD_LOCATION_DETAIL_Apex^MDC|||||F
 OBX|166|CWE|720968^MDC_IDC_LEAD_LOCATION_DETAIL_2^MDC|6|753925
 ^MDC_IDC_ENUM_LEAD_LOCATION_DETAIL_VenaCava^MDC|||||F
 OBX|167|DTM|721025^MDC_IDC_SESS_DTM^MDC||201001021310-0600|||||F
 OBX|168|CWE|721026^MDC_IDC_SESS_TYPE^MDC||754052
 ^MDC_IDC_ENUM_SESS_TYPE_RemoteDeviceInitiated^MDC|||||F
 OBX|169|ST|721033^MDC_IDC_SESS_CLINIC_NAME
 ^MDC||abcdefghijklmnopqrstuvwxyzabcdefghijklmnopqrstuvw|||F
 OBX|170|DTM|721216^MDC_IDC_MSMT_BATTERY_DTM^MDC||201205221755+0000|||||F
 OBX|171|CWE|721280^MDC_IDC_MSMT_BATTERY_STATUS^MDC||754113
 ^MDC_IDC_ENUM_BATTERY_STATUS_BOS^MDC|||||F
 OBX|172|NM|721472^MDC_IDC_MSMT_BATTERY_REMAINING_LONGEVITY^MDC||132|mo||>|||F
 OBX|173|NM|721536^MDC_IDC_MSMT_BATTERY_REMAINING_PERCENTAGE^MDC||100|%|||F
 OBX|174|DTM|721664^MDC_IDC_MSMT_CAP_CHARGE_DTM^MDC||201205221755|||||F
 OBX|175|NM|721728^MDC_IDC_MSMT_CAP_CHARGE_TIME^MDC||3.0|s|||F
 OBX|176|CWE|721856^MDC_IDC_MSMT_CAP_CHARGE_TYPE^MDC||754178
 ^MDC_IDC_ENUM_CHARGE_TYPE_Reformation^MDC|||||F
 OBX|177|DTM|721921^MDC_IDC_MSMT_LEADCHNL_RA_DTM_START^MDC||20121211|||||F
 OBX|178|DTM|721922^MDC_IDC_MSMT_LEADCHNL_RA_DTM_END^MDC||20121211|||||F
 OBX|179|CWE|721984^MDC_IDC_MSMT_LEADCHNL_RA_LEAD_CHANNEL_STATUS
 ^MDC||754241^MDC_IDC_ENUM_CHANNEL_STATUS_CheckLead^MDC|||||F
 OBX|180|NM|722051
 ^MDC_IDC_MSMT_LEADCHNL_RA_SENSING_INTR_AMPL_MEAN^MDC||mV||NAV|||F||20121211
 OBX|181|DTM|721925^MDC_IDC_MSMT_LEADCHNL_RV_DTM_START^MDC||19990102|||||F
 OBX|182|DTM|721926^MDC_IDC_MSMT_LEADCHNL_RV_DTM_END^MDC||20121211|||||F
 OBX|183|CWE|721985^MDC_IDC_MSMT_LEADCHNL_RV_LEAD_CHANNEL_STATUS^MDC||754241
 ^MDC_IDC_ENUM_CHANNEL_STATUS_CheckLead^MDC|||||F
 OBX|184|NM|722055
 ^MDC_IDC_MSMT_LEADCHNL_RV_SENSING_INTR_AMPL_MEAN^MDC||0.1|mV||<|||F||20121211
 OBX|185|DTM|721933^MDC_IDC_MSMT_LEADCHNL_LV_DTM_START^MDC||19990102|||||F
 OBX|186|DTM|721934^MDC_IDC_MSMT_LEADCHNL_LV_DTM_END^MDC||20121211|||||F
 OBX|187|CWE|721987^MDC_IDC_MSMT_LEADCHNL_LV_LEAD_CHANNEL_STATUS
 ^MDC||754241^MDC_IDC_ENUM_CHANNEL_STATUS_CheckLead^MDC|||||F
 OBX|188|NM|722063^MDC_IDC_MSMT_LEADCHNL_LV_SENSING_INTR_AMPL_MEAN
 ^MDC||25.0|mV||>|||F||20121211
 OBX|189|CWE|722112^MDC_IDC_MSMT_LEADCHNL_RA_SENSING_POLARITY
 ^MDC||754305^MDC_IDC_ENUM_POLARITY_UNI^MDC|||||F
 OBX|190|CWE|722113^MDC_IDC_MSMT_LEADCHNL_RV_SENSING_POLARITY
 ^MDC||754306^MDC_IDC_ENUM_POLARITY_BI^MDC|||||F
 OBX|191|CWE|722115^MDC_IDC_MSMT_LEADCHNL_LV_SENSING_POLARITY^MDC|||||OFF|||F
 OBX|192|NM|722176^MDC_IDC_MSMT_LEADCHNL_RA_PACING_THRESHOLD_AMPLITUDE
 ^MDC|||V||NAV|||F||20121211
 OBX|193|NM|722177^MDC_IDC_MSMT_LEADCHNL_RV_PACING_THRESHOLD_AMPLITUDE
 ^MDC||3.0|V||>|||F||20121211
 OBX|194|NM|722179^MDC_IDC_MSMT_LEADCHNL_LV_PACING_THRESHOLD_AMPLITUDE
 ^MDC||0.0|V|||F||20121210
 OBX|195|NM|722240^MDC_IDC_MSMT_LEADCHNL_RA_PACING_THRESHOLD_PULSEWIDTH
 ^MDC|||ms||NAV|||F||19990102
 OBX|196|NM|722241^MDC_IDC_MSMT_LEADCHNL_RV_PACING_THRESHOLD_PULSEWIDTH
 ^MDC||0.4|ms|||F||19990102
 OBX|197|NM|722243^MDC_IDC_MSMT_LEADCHNL_LV_PACING_THRESHOLD_PULSEWIDTH
 ^MDC||0.4|ms|||F||19990102
 OBX|198|CWE|722304^MDC_IDC_MSMT_LEADCHNL_RA_PACING_THRESHOLD_MEASUREMENT_METHOD
 ^MDC||754369^MDC_IDC_ENUM_MEASUREMENT_METHOD_ProgrammerManual^MDC|||||F
 OBX|199|CWE|722305^MDC_IDC_MSMT_LEADCHNL_RV_PACING_THRESHOLD_MEASUREMENT_METHOD
 ^MDC||754369^MDC_IDC_ENUM_MEASUREMENT_METHOD_ProgrammerManual^MDC|||||F
 OBX|200|CWE|722307^MDC_IDC_MSMT_LEADCHNL_LV_PACING_THRESHOLD_MEASUREMENT_METHOD
 ^MDC||754369^MDC_IDC_ENUM_MEASUREMENT_METHOD_ProgrammerManual^MDC|||||F
 OBX|201|CWE|722368^MDC_IDC_MSMT_LEADCHNL_RA_PACING_THRESHOLD_POLARITY
 ^MDC||754305^MDC_IDC_ENUM_POLARITY_UNI^MDC|||||F
 OBX|202|CWE|722369^MDC_IDC_MSMT_LEADCHNL_RV_PACING_THRESHOLD_POLARITY
 ^MDC||754306^MDC_IDC_ENUM_POLARITY_BI^MDC|||||F
 OBX|203|CWE|722371^MDC_IDC_MSMT_LEADCHNL_LV_PACING_THRESHOLD_POLARITY
 ^MDC||754306^MDC_IDC_ENUM_POLARITY_BI^MDC|||||F

OBX|204|NM|722432^MDC_IDC_MSMT_LEADCHNL_RA_IMPEDANCE_VALUE
^MDC|200|ohms|<||F||20121211

OBX|205|NM|722433^MDC_IDC_MSMT_LEADCHNL_RV_IMPEDANCE_VALUE
^MDC|2000|ohms|>||F||20121211

OBX|206|NM|722435^MDC_IDC_MSMT_LEADCHNL_LV_IMPEDANCE_VALUE
^MDC|201|ohms||||F||20121209

OBX|207|CWE|722496^MDC_IDC_MSMT_LEADCHNL_RA_IMPEDANCE_POLARITY
^MDC|754305^MDC_IDC_ENUM_POLARITY_UNI^MDC||||F

OBX|208|CWE|722497^MDC_IDC_MSMT_LEADCHNL_RV_IMPEDANCE_POLARITY
^MDC|754305^MDC_IDC_ENUM_POLARITY_UNI^MDC||||F

OBX|209|CWE|722499^MDC_IDC_MSMT_LEADCHNL_LV_IMPEDANCE_POLARITY
^MDC|754306^MDC_IDC_ENUM_POLARITY_BI^MDC||||F

OBX|210|DTM|722560^MDC_IDC_MSMT_LEADHVCHNL_DTM_START^MDC|1|20121109||||F

OBX|211|NM|722624^MDC_IDC_MSMT_LEADHVCHNL_IMPEDANCE^MDC|1|ohms|NAV||F

OBX|212|CWE|722688^MDC_IDC_MSMT_LEADHVCHNL_MEASUREMENT_TYPE
^MDC|1|754433^MDC_IDC_ENUM_HVCHNL_MEASUREMENT_TYPE_LowVoltage^MDC||||F

OBX|213|CWE|722752^MDC_IDC_MSMT_LEADHVCHNL_STATUS^MDC|1|754241
^MDC_IDC_ENUM_CHANNEL_STATUS_CheckLead^MDC||||F

OBX|214|NM|729344^MDC_IDC_SET_CRT_LVRV_DELAY^MDC||-100|ms||||F

OBX|215|CWE|729408^MDC_IDC_SET_CRT_PACED_CHAMBERS^MDC||755265
^MDC_IDC_ENUM_CRT_PACED_CHAMBERS_RV_Only^MDC||||F

OBX|216|NM|729536^MDC_IDC_SET_LEADCHNL_RA_SENSING_SENSITIVITY^MDC||0.5|mV||||F

OBX|217|NM|729537^MDC_IDC_SET_LEADCHNL_RV_SENSING_SENSITIVITY^MDC||0.9|mV||||F

OBX|218|NM|729539^MDC_IDC_SET_LEADCHNL_LV_SENSING_SENSITIVITY^MDC||1.0|mV||||F

OBX|219|CWE|729600^MDC_IDC_SET_LEADCHNL_RA_SENSING_POLARITY^MDC||||OFF||F

OBX|220|CWE|729601^MDC_IDC_SET_LEADCHNL_RV_SENSING_POLARITY^MDC||754305
^MDC_IDC_ENUM_POLARITY_UNI^MDC||||F

OBX|221|CWE|729676^MDC_IDC_SET_LEADCHNL_LV_SENSING_ANODE_LOCATION^MDC||754498
^MDC_IDC_ENUM_ELECTRODE_LOCATION_RV^MDC||||F

OBX|222|CWE|729740^MDC_IDC_SET_LEADCHNL_LV_SENSING_ANODE_ELECTRODE^MDC||||OFF||F

OBX|223|CWE|729804^MDC_IDC_SET_LEADCHNL_LV_SENSING_CATHODE_LOCATION^MDC||||OFF||F

OBX|224|CWE|729868^MDC_IDC_SET_LEADCHNL_LV_SENSING_CATHODE_ELECTRODE
^MDC||754561^MDC_IDC_ENUM_ELECTRODE_NAME_Tip^MDC||||F

OBX|225|CWE|729920^MDC_IDC_SET_LEADCHNL_RA_SENSING_ADAPTATION_MODE^MDC||754625
^MDC_IDC_ENUM_SENSING_ADAPTATION_MODE_AdaptiveSensing^MDC||||F

OBX|226|CWE|729921^MDC_IDC_SET_LEADCHNL_RV_SENSING_ADAPTATION_MODE^MDC||754625
^MDC_IDC_ENUM_SENSING_ADAPTATION_MODE_AdaptiveSensing^MDC||||F

OBX|227|CWE|729923^MDC_IDC_SET_LEADCHNL_LV_SENSING_ADAPTATION_MODE^MDC||754626
^MDC_IDC_ENUM_SENSING_ADAPTATION_MODE_FixedSensing^MDC||||F

OBX|228|NM|729984^MDC_IDC_SET_LEADCHNL_RA_PACING_AMPLITUDE^MDC||5.1|V||||F

OBX|229|NM|729985^MDC_IDC_SET_LEADCHNL_RV_PACING_AMPLITUDE^MDC||5.0|V||||F

OBX|230|NM|729987^MDC_IDC_SET_LEADCHNL_LV_PACING_AMPLITUDE^MDC||2.8|V||||F

OBX|231|NM|730048^MDC_IDC_SET_LEADCHNL_RA_PACING_PULSEWIDTH^MDC||100.0|ms||||F

OBX|232|NM|730049^MDC_IDC_SET_LEADCHNL_RV_PACING_PULSEWIDTH^MDC||200.0|ms||||F

OBX|233|NM|730051^MDC_IDC_SET_LEADCHNL_LV_PACING_PULSEWIDTH^MDC||300.0|ms||||F

OBX|234|CWE|730112^MDC_IDC_SET_LEADCHNL_RA_PACING_POLARITY^MDC||754305
^MDC_IDC_ENUM_POLARITY_UNI^MDC||||F

OBX|235|CWE|730113^MDC_IDC_SET_LEADCHNL_RV_PACING_POLARITY^MDC||754305
^MDC_IDC_ENUM_POLARITY_UNI^MDC||||F

OBX|236|CWE|730188^MDC_IDC_SET_LEADCHNL_LV_PACING_ANODE_LOCATION^MDC||754498
^MDC_IDC_ENUM_ELECTRODE_LOCATION_RV^MDC||||F

OBX|237|CWE|730252^MDC_IDC_SET_LEADCHNL_LV_PACING_ANODE_ELECTRODE^MDC||754564
^MDC_IDC_ENUM_ELECTRODE_NAME_Ring2^MDC||||F

OBX|238|CWE|730316^MDC_IDC_SET_LEADCHNL_LV_PACING_CATHODE_LOCATION^MDC||754500
^MDC_IDC_ENUM_ELECTRODE_LOCATION_LV^MDC||||F

OBX|239|CWE|730380^MDC_IDC_SET_LEADCHNL_LV_PACING_CATHODE_ELECTRODE^MDC||754566
^MDC_IDC_ENUM_ELECTRODE_NAME_Ring4^MDC||||F

OBX|240|CWE|730432^MDC_IDC_SET_LEADCHNL_RA_PACING_CAPTURE_MODE^MDC||754690
^MDC_IDC_ENUM_PACING_CAPTURE_MODE_FixedPacing^MDC||||F

OBX|241|CWE|730433^MDC_IDC_SET_LEADCHNL_RV_PACING_CAPTURE_MODE^MDC||754691
^MDC_IDC_ENUM_PACING_CAPTURE_MODE_MonitorCapture^MDC||||F

OBX|242|CWE|730435^MDC_IDC_SET_LEADCHNL_LV_PACING_CAPTURE_MODE^MDC||754690
^MDC_IDC_ENUM_PACING_CAPTURE_MODE_FixedPacing^MDC||||F

OBX|243|CWE|730752^MDC_IDC_SET_BRADY_MODE^MDC||754760^MDC_IDC_ENUM_BRADY_MODE_DDD
^MDC||||F

OBX|244|NM|730880^MDC_IDC_SET_BRADY_LOWRATE^MDC||100|{beats}/min||||F
 OBX|245|ST|731072^MDC_IDC_SET_BRADY_SENSOR_TYPE^MDC|Accéléromètre + VM||||F
 OBX|246|NM|731136^MDC_IDC_SET_BRADY_MAX_TRACKING_RATE^MDC||130|{beats}/min||||F
 OBX|247|NM|731200^MDC_IDC_SET_BRADY_MAX_SENSOR_RATE^MDC||180|{beats}/min||||F
 OBX|248|NM|731265^MDC_IDC_SET_BRADY_SAV_DELAY_HIGH^MDC||102|ms||||F
 OBX|249|NM|731266^MDC_IDC_SET_BRADY_SAV_DELAY_LOW^MDC||101|ms||||F
 OBX|250|NM|731329^MDC_IDC_SET_BRADY_PAV_DELAY_HIGH^MDC||104|ms||||F
 OBX|251|NM|731330^MDC_IDC_SET_BRADY_PAV_DELAY_LOW^MDC||103|ms||||F
 OBX|252|CWE|731392^MDC_IDC_SET_BRADY_AT_MODE_SWITCH_MODE^MDC||754763
 ^MDC_IDC_ENUM_BRADY_MODE_DDIR^MDC||||F
 OBX|253|NM|731456^MDC_IDC_SET_BRADY_AT_MODE_SWITCH_RATE^MDC||130|{beats}/min||||F
 OBX|254|CWE|731520^MDC_IDC_SET_TACHYTHERAPY_VSTAT^MDC||754817
 ^MDC_IDC_ENUM_THERAPY_STATUS_On^MDC||||F
 OBX|255|CWE|731648^MDC_IDC_SET_ZONE_TYPE^MDC|1|754945^MDC_IDC_ENUM_ZONE_TYPE_Zone_VF
 ^MDC||||F
 OBX|256|CWE|731712^MDC_IDC_SET_ZONE_VENDOR_TYPE^MDC|1|771139
 ^MDC_IDC_ENUM_ZONE_VENDOR_TYPE_BSX-Zone_VF^MDC||||F
 OBX|257|CWE|731776^MDC_IDC_SET_ZONE_STATUS^MDC|1|755009
 ^MDC_IDC_ENUM_ZONE_STATUS_Active^MDC||||F
 OBX|258|NM|731840^MDC_IDC_SET_ZONE_DETECTION_INTERVAL^MDC|1|462|ms||||F
 OBX|259|CWE|732097^MDC_IDC_SET_ZONE_TYPE_ATP_1^MDC|1|755073
 ^MDC_IDC_ENUM_ATP_TYPE_Burst^MDC||||F
 OBX|260|NM|732161^MDC_IDC_SET_ZONE_NUM_ATP_SEQS_1^MDC|1|1||||F
 OBX|261|NM|732225^MDC_IDC_SET_ZONE_SHOCK_ENERGY_1^MDC|1|21.1|J||||F
 OBX|262|NM|732289^MDC_IDC_SET_ZONE_NUM_SHOCKS_1^MDC|1|1||||F
 OBX|263|NM|732226^MDC_IDC_SET_ZONE_SHOCK_ENERGY_2^MDC|1|31.1|J||||F
 OBX|264|NM|732290^MDC_IDC_SET_ZONE_NUM_SHOCKS_2^MDC|1|1||||F
 OBX|265|NM|732227^MDC_IDC_SET_ZONE_SHOCK_ENERGY_3^MDC|1|41.1|J||||F
 OBX|266|NM|732291^MDC_IDC_SET_ZONE_NUM_SHOCKS_3^MDC|1|6||||F
 OBX|267|CWE|731648^MDC_IDC_SET_ZONE_TYPE^MDC|2|754946^MDC_IDC_ENUM_ZONE_TYPE_Zone_VT
 ^MDC||||F
 OBX|268|CWE|731712^MDC_IDC_SET_ZONE_VENDOR_TYPE^MDC|2|771137
 ^MDC_IDC_ENUM_ZONE_VENDOR_TYPE_BSX-Zone_VT^MDC||||F
 OBX|269|CWE|731776^MDC_IDC_SET_ZONE_STATUS^MDC|2|755009
 ^MDC_IDC_ENUM_ZONE_STATUS_Active^MDC||||F
 OBX|270|NM|731840^MDC_IDC_SET_ZONE_DETECTION_INTERVAL^MDC|2|463|ms||||F
 OBX|271|CWE|732097^MDC_IDC_SET_ZONE_TYPE_ATP_1^MDC|2|755073
 ^MDC_IDC_ENUM_ATP_TYPE_Burst^MDC||||F
 OBX|272|NM|732161^MDC_IDC_SET_ZONE_NUM_ATP_SEQS_1^MDC|2|2||||F
 OBX|273|CWE|732098^MDC_IDC_SET_ZONE_TYPE_ATP_2^MDC|2|755074
 ^MDC_IDC_ENUM_ATP_TYPE_Ramp^MDC||||F
 OBX|274|NM|732162^MDC_IDC_SET_ZONE_NUM_ATP_SEQS_2^MDC|2|3||||F
 OBX|275|NM|732225^MDC_IDC_SET_ZONE_SHOCK_ENERGY_1^MDC|2|22.2|J||||F
 OBX|276|NM|732289^MDC_IDC_SET_ZONE_NUM_SHOCKS_1^MDC|2|1||||F
 OBX|277|NM|732226^MDC_IDC_SET_ZONE_SHOCK_ENERGY_2^MDC|2|32.2|J||||F
 OBX|278|NM|732290^MDC_IDC_SET_ZONE_NUM_SHOCKS_2^MDC|2|1||||F
 OBX|279|NM|732227^MDC_IDC_SET_ZONE_SHOCK_ENERGY_3^MDC|2|42.2|J||||F
 OBX|280|NM|732291^MDC_IDC_SET_ZONE_NUM_SHOCKS_3^MDC|2|3||||F
 OBX|281|CWE|731648^MDC_IDC_SET_ZONE_TYPE^MDC|3|754946^MDC_IDC_ENUM_ZONE_TYPE_Zone_VT
 ^MDC||||F
 OBX|282|CWE|731712^MDC_IDC_SET_ZONE_VENDOR_TYPE^MDC|3|771138
 ^MDC_IDC_ENUM_ZONE_VENDOR_TYPE_BSX-Zone_VT-1^MDC||||F
 OBX|283|CWE|731776^MDC_IDC_SET_ZONE_STATUS^MDC|3|755009
 ^MDC_IDC_ENUM_ZONE_STATUS_Active^MDC||||F
 OBX|284|NM|731840^MDC_IDC_SET_ZONE_DETECTION_INTERVAL^MDC|3|465|ms||||F
 OBX|285|CWE|732097^MDC_IDC_SET_ZONE_TYPE_ATP_1^MDC|3|755074
 ^MDC_IDC_ENUM_ATP_TYPE_Ramp^MDC||||F
 OBX|286|NM|732161^MDC_IDC_SET_ZONE_NUM_ATP_SEQS_1^MDC|3|4||||F
 OBX|287|CWE|732098^MDC_IDC_SET_ZONE_TYPE_ATP_2^MDC|3|755076
 ^MDC_IDC_ENUM_ATP_TYPE_RampScan^MDC||||F
 OBX|288|NM|732162^MDC_IDC_SET_ZONE_NUM_ATP_SEQS_2^MDC|3|5||||F
 OBX|289|NM|732225^MDC_IDC_SET_ZONE_SHOCK_ENERGY_1^MDC|3|23.2|J||||F
 OBX|290|NM|732289^MDC_IDC_SET_ZONE_NUM_SHOCKS_1^MDC|3|1||||F
 OBX|291|NM|732226^MDC_IDC_SET_ZONE_SHOCK_ENERGY_2^MDC|3|33.2|J||||F
 OBX|292|NM|732290^MDC_IDC_SET_ZONE_NUM_SHOCKS_2^MDC|3|1||||F

OBX|293|NM|732227^MDC_IDC_SET_ZONE_SHOCK_ENERGY_3^MDC|3|43.2|J|||||F
OBX|294|NM|732291^MDC_IDC_SET_ZONE_NUM_SHOCKS_3^MDC|3|2|||||F
OBX|295|DTM|737489^MDC_IDC_STAT_DTM_START^MDC||20120522|||||F
OBX|296|DTM|737490^MDC_IDC_STAT_DTM_END^MDC||20120522|||||F
OBX|297|DTM|737505^MDC_IDC_STAT_BRADY_DTM_START^MDC||20120522|||||F
OBX|298|DTM|737506^MDC_IDC_STAT_BRADY_DTM_END^MDC||20120522|||||F
OBX|299|NM|737520^MDC_IDC_STAT_BRADY_RA_PERCENT_PACED^MDC||0%|||||F
OBX|300|NM|737536^MDC_IDC_STAT_BRADY_RV_PERCENT_PACED^MDC||0%|||||F
OBX|301|DTM|737777^MDC_IDC_STAT_CRT_DTM_START^MDC||20120522|||||F
OBX|302|DTM|737778^MDC_IDC_STAT_CRT_DTM_END^MDC||20120522|||||F
OBX|303|NM|737792^MDC_IDC_STAT_CRT_LV_PERCENT_PACED^MDC||0%|||||F
OBX|304|CWE|737952^MDC_IDC_STAT_EPISODE_TYPE^MDC|1|754882
^MDC_IDC_ENUM_EPISODE_TYPE_Epis_VT^MDC|||||F
OBX|305|CWE|737984^MDC_IDC_STAT_EPISODE_VENDOR_TYPE^MDC|1|771077
^MDC_IDC_ENUM_EPISODE_VENDOR_TYPE_BSX-Epis_NSVT^MDC|||||F
OBX|306|NM|738000^MDC_IDC_STAT_EPISODE_RECENT_COUNT^MDC|1|0|||||F
OBX|307|DTM|738017^MDC_IDC_STAT_EPISODE_RECENT_COUNT_DTM_START^MDC|1|20120522|||||F
OBX|308|DTM|738018^MDC_IDC_STAT_EPISODE_RECENT_COUNT_DTM_END^MDC|1|20120522|||||F
OBX|309|CWE|737952^MDC_IDC_STAT_EPISODE_TYPE^MDC|1|754882
^MDC_IDC_ENUM_EPISODE_TYPE_Epis_VT^MDC|||||F
OBX|310|CWE|737984^MDC_IDC_STAT_EPISODE_VENDOR_TYPE^MDC|1|||||F
OBX|311|NM|738000^MDC_IDC_STAT_EPISODE_RECENT_COUNT^MDC|1|0|||||F
OBX|312|DTM|738017^MDC_IDC_STAT_EPISODE_RECENT_COUNT_DTM_START^MDC|1|20120522|||||F
OBX|313|DTM|738018^MDC_IDC_STAT_EPISODE_RECENT_COUNT_DTM_END^MDC|1|20120522|||||F
OBX|314|CWE|737952^MDC_IDC_STAT_EPISODE_TYPE^MDC|2|754884
^MDC_IDC_ENUM_EPISODE_TYPE_Epis_SVT^MDC|||||F
OBX|315|CWE|737984^MDC_IDC_STAT_EPISODE_VENDOR_TYPE^MDC|2|771076
^MDC_IDC_ENUM_EPISODE_VENDOR_TYPE_BSX-Epis_SVT^MDC|||||F
OBX|316|NM|738000^MDC_IDC_STAT_EPISODE_RECENT_COUNT^MDC|2|0|||||F
OBX|317|DTM|738017^MDC_IDC_STAT_EPISODE_RECENT_COUNT_DTM_START^MDC|2|20120522|||||F
OBX|318|DTM|738018^MDC_IDC_STAT_EPISODE_RECENT_COUNT_DTM_END^MDC|2|20120522|||||F
OBX|319|CWE|737952^MDC_IDC_STAT_EPISODE_TYPE^MDC|4|754883
^MDC_IDC_ENUM_EPISODE_TYPE_Epis_ATAF^MDC|||||F
OBX|320|CWE|737984^MDC_IDC_STAT_EPISODE_VENDOR_TYPE^MDC|4|771078
^MDC_IDC_ENUM_EPISODE_VENDOR_TYPE_BSX-Epis_ATR^MDC|||||F
OBX|321|NM|738000^MDC_IDC_STAT_EPISODE_RECENT_COUNT^MDC|4|0|||||F
OBX|322|DTM|738017^MDC_IDC_STAT_EPISODE_RECENT_COUNT_DTM_START^MDC|4|20120522|||||F
OBX|323|DTM|738018^MDC_IDC_STAT_EPISODE_RECENT_COUNT_DTM_END^MDC|4|20120522|||||F
OBX|324|CWE|737952^MDC_IDC_STAT_EPISODE_TYPE^MDC|5|754888
^MDC_IDC_ENUM_EPISODE_TYPE_Epis_Other^MDC|||||F
OBX|325|CWE|737984^MDC_IDC_STAT_EPISODE_VENDOR_TYPE^MDC|5|||||F
OBX|326|NM|738000^MDC_IDC_STAT_EPISODE_RECENT_COUNT^MDC|5|0|||||F
OBX|327|DTM|738017^MDC_IDC_STAT_EPISODE_RECENT_COUNT_DTM_START^MDC|5|20120522|||||F
OBX|328|DTM|738018^MDC_IDC_STAT_EPISODE_RECENT_COUNT_DTM_END^MDC|5|20120522|||||F
OBX|329|CWE|737952^MDC_IDC_STAT_EPISODE_TYPE^MDC|6|754881
^MDC_IDC_ENUM_EPISODE_TYPE_Epis_VF^MDC|||||F
OBX|330|CWE|737984^MDC_IDC_STAT_EPISODE_VENDOR_TYPE^MDC|6|771073
^MDC_IDC_ENUM_EPISODE_VENDOR_TYPE_BSX-Epis_VF^MDC|||||F
OBX|331|NM|738000^MDC_IDC_STAT_EPISODE_RECENT_COUNT^MDC|6|1|||||F
OBX|332|DTM|738017^MDC_IDC_STAT_EPISODE_RECENT_COUNT_DTM_START^MDC|6|20120522|||||F
OBX|333|DTM|738018^MDC_IDC_STAT_EPISODE_RECENT_COUNT_DTM_END^MDC|6|20120522|||||F
OBX|334|CWE|737952^MDC_IDC_STAT_EPISODE_TYPE^MDC|7|754882
^MDC_IDC_ENUM_EPISODE_TYPE_Epis_VT^MDC|||||F
OBX|335|CWE|737984^MDC_IDC_STAT_EPISODE_VENDOR_TYPE^MDC|7|771074
^MDC_IDC_ENUM_EPISODE_VENDOR_TYPE_BSX-Epis_VT-1^MDC|||||F
OBX|336|NM|738000^MDC_IDC_STAT_EPISODE_RECENT_COUNT^MDC|7|2|||||F
OBX|337|DTM|738017^MDC_IDC_STAT_EPISODE_RECENT_COUNT_DTM_START^MDC|7|20120522|||||F
OBX|338|DTM|738018^MDC_IDC_STAT_EPISODE_RECENT_COUNT_DTM_END^MDC|7|20120522|||||F
OBX|339|CWE|737952^MDC_IDC_STAT_EPISODE_TYPE^MDC|8|754882
^MDC_IDC_ENUM_EPISODE_TYPE_Epis_VT^MDC|||||F
OBX|340|CWE|737984^MDC_IDC_STAT_EPISODE_VENDOR_TYPE^MDC|8|771075
^MDC_IDC_ENUM_EPISODE_VENDOR_TYPE_BSX-Epis_VT-1^MDC|||||F
OBX|341|NM|738000^MDC_IDC_STAT_EPISODE_RECENT_COUNT^MDC|8|3|||||F
OBX|342|DTM|738017^MDC_IDC_STAT_EPISODE_RECENT_COUNT_DTM_START^MDC|8|20120522|||||F
OBX|343|DTM|738018^MDC_IDC_STAT_EPISODE_RECENT_COUNT_DTM_END^MDC|8|20120522|||||F

OBX|344|CWE|737952^MDC_IDC_STAT_EPISODE_TYPE^MDC|9|754884
^MDC_IDC_ENUM_EPISODE_TYPE_Epis_Monitor^MDC|||||F
OBX|345|CWE|737984^MDC_IDC_STAT_EPISODE_VENDOR_TYPE^MDC|9|||||||F
OBX|346|NM|738000^MDC_IDC_STAT_EPISODE_RECENT_COUNT^MDC|9|4|||||||F
OBX|347|DTM|738017^MDC_IDC_STAT_EPISODE_RECENT_COUNT_DTM_START^MDC|9|20120522|||||F
OBX|348|DTM|738018^MDC_IDC_STAT_EPISODE_RECENT_COUNT_DTM_END^MDC|9|20120522|||||F

Outdated version. Do not use.
Version überholt. Nicht verwenden.
Version obsolete. Ne pas utiliser.
Versión obsoleta. No utilizar.
Versione obsoleta. Non utilizzate.
Verouderde versie. Niet gebruiken.
Föråldrad version. Använd ej.
Παλιά έκδοση. Μην την χρησιμοποιείτε.
Versão obsoleta. Não utilize.
Forældet version. Må ikke anvendes.
Zastaralá verzia. Nepoužívať.
Utdatert versjon. Skal ikke brukes.
Zastaraná verzia. Nepoužívať.
Elavult verzió. Ne használja!
Wersja nieaktualna. Nie używać.

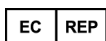
Outdated version. Do not use.
Version überholt. Nicht verwenden.
Version obsolète. Ne pas utiliser.
Versión obsoleta. No utilizar.
Versione obsoleta. Non utilizzare.
Verouderde versie. Niet gebruiken.
Föråldrad version. Använd ej.
Παλιά έκδοση. Μην την χρησιμοποιείτε.
Versão obsoleta. Não utilize.
Forældet version. Må ikke anvendes.
Zastaralá verze. Nepoužívat.
Utdatert versjon. Skal ikke brukes.
Zastaraná verzia. Nepoužívať.
Elavult verzió. Ne használja!
Wersja nieaktualna. Nie używać.

Outdated version. Do not use.
Version überholt. Nicht verwenden.
Version obsolète. Ne pas utiliser.
Versión obsoleta. No utilizar.
Versione obsoleta. Non utilizzare.
Verouderde versie. Niet gebruiken.
Föråldrad version. Använd ej.
Παλιά έκδοση. Μην την χρησιμοποιείτε.
Versão obsoleta. Não utilize.
Forældet version. Må ikke anvendes.
Zastaralá verze. Nepoužívat.
Utdatert versjon. Skal ikke brukes.
Zastaraná verzia. Nepoužívať.
Elavult verzió. Ne használja!
Wersja nieaktualna. Nie używać.

Boston Scientific



Boston Scientific
4100 Hamline Avenue North
St. Paul, MN 55112-5798 USA



Guidant Europe NV/SA; Boston Scientific
Green Square, Lambroekstraat 5D
1831 Diegem, Belgium

1.800.CARDIAC (227.3422)
+1.651.582.4000

www.bostonscientific.com

© 2013 Boston Scientific Corporation or its affiliates.
All rights reserved.

359273-003 FR Europe 2013-10

Outdated version. Do not use.
Version überholt. Nicht verwenden.
Version obsolete. Ne pas utiliser.
Versión obsoleta. No utilizar.
Versione obsoleta. Non utilizzare.
Verouderde versie. Niet gebruiken.
Föråldrad version. Använd ej.
Παλιά έκδοση. Μην την χρησιμοποιείτε.
Versão obsoleta. Não utilize.
Forældet version. Må ikke anvendes.
Zastaralá verze. Nepoužívat.
Utdatert versjon. Skal ikke brukes.
Zastaraná verzia. Nepoužívať.
Elavult verzió. Ne használja!
Wersja nieaktualna. Nie używać.

CE

